

# Materia cuántica en cavidades de alta reflectancia (Many-body CQED)

Santiago F. Caballero-Benítez

*Instituto de Física, LSCSC-LANMAC, Universidad Nacional Autónoma de México,  
Apdo. Postal 20-364, México D. F. 01000, México.*

(Dated: January 19, 2022)

En este artículo se discuten algunos detalles del curso sobre “Materia cuántica en redes ópticas y cavidades de alta reflectancia (Many-body CQED)” de la escuela de verano de Física XVIII (2021) en la UNAM. Se describen conceptos útiles para la simulación cuántica análoga, así como se introducen detalles de modelos de materia cuántica en redes ópticas y en cavidades de alta reflectancia.

Las notas del curso son una introducción sobre la motivación de la simulación cuántica análoga y su relación con modelos típicos de estudio con la siguiente estructura:

- Redes ópticas y materia condensada
- El modelo de Bose-Hubbard
- Modelos en cavidades de alta reflectancia
- Conclusiones

## I. REDES ÓPTICAS Y MATERIA CONDENSADA

A partir de los avances en el control de sistemas atómicos de manera experimental desde finales de la década de los 90, se ha logrado poder enfriar a temperaturas muy cercanas al cero absoluto (del orden de  $10^{-6} - 10^{-9}$ K) átomos en sistemas al alto vacío. En estas condiciones es posible atrapar a los átomos de muy baja energía en estructuras periódicas generadas por luz de láseres[1]. A estas estructuras periódicas se les denomina redes ópticas (“optical lattices”) [2]. Los átomos en estas redes ópticas se comportan de manera muy similar a cómo se comportan los electrones en un sólido. Esto da origen a la idea de utilizar sistemas atómicos como simuladores potenciales de materiales, donde a diferencia de un material real, todos los parámetros que dan forma a los modelos efectivos pueden ser controlados con alta precisión de manera externa experimentalmente[3, 4]. Desde el punto de vista teórico, esto abre la posibilidad a la exploración de nuevos modelos, que son experimentalmente realizables donde se pueden explorar mecanismos en búsqueda de nueva fenomenología y en varias instancias encontrar nuevas maneras en la materia se organiza en el régimen cuántico. Esto da lugar a nuevos estados de la materia, los cuales tienen el potencial de ser utilizados para el desarrollo de tecnología, ya sea en su realización en el sistema atómico o en un sistema análogo del estado sólido. Estas y otras aplicaciones de la materia cuántica forman parte de las “Tecnologías Cuánticas”. En ellas se busca utilizar efectos y propiedades de sistemas en el régimen cuántico para el desarrollo tecnológico[5].

Concretamente, la analogía entre los átomos en redes ópticas y el sistema electrónico se puede entender partir de la representación de los modelos de enlace fuerte electrones. Un modelo simple típico efectivo de electrones en un sólido es el modelo de Hubbard[6]:

$$\mathcal{H}^e = -t \sum_{\sigma \in \{\uparrow, \downarrow\}} \sum_{\langle i, j \rangle} (\hat{c}_{i, \sigma}^\dagger \hat{c}_{j, \sigma} + \text{H.c.}) + U \sum_i \hat{n}_{i, \uparrow} \hat{n}_{i, \downarrow} \quad (1)$$

donde  $\hat{c}_{i, \sigma}^\dagger$  ( $\hat{c}_{i, \sigma}$ ) es el operador de creación (aniquilación) de un electrón en un sitio  $i$  de la banda de conducción ( $c$ ) con proyección de espín  $\sigma \in \{\uparrow, \downarrow\}$ . El símbolo  $\langle i, j \rangle$  se refiere a los sitios primeros vecinos  $i, j$ . Los operadores de creación y aniquilación obedecen el algebra canónica de anti-conmutación tal que,  $[\hat{c}_{i, \sigma}, \hat{c}_{j, \nu}^\dagger]_+ = \delta_{\sigma, \nu} \delta_{i, j}$ ,  $[\hat{c}_{i, \sigma}^\dagger, \hat{c}_{j, \nu}^\dagger]_+ = 0$  y  $[\hat{c}_{i, \sigma}, \hat{c}_{j, \nu}]_+ = 0$ , donde  $[A, B]_{\pm} = AB \pm BA$  es el anti-conmutador (conmutador). El operador del número de electrones en cada sitio con proyección  $\sigma$  de espín esta definido como:  $\hat{n}_{\sigma, i} = \hat{c}_{i, \sigma}^\dagger \hat{c}_{i, \sigma}$ . El segundo termino en (1) es conocido como el término de interacción de Hubbard[7]. El parámetro  $t$  es la amplitud de tunelamiento y  $U$  es la fuerza de interacción. El primer término de (1) tiene la interpretación de ser la energía cinética efectiva del sistema. En esta interpretación, los electrones se mueven de sitio en sitio en la red que forma el sólido por el potencial efectivo que se genera a partir de los potenciales moleculares efectivos, ver figura 2 (a). En una red óptica se tiene un potencial periódico con comportamiento similar dado por las ondas estacionarias generadas por los láseres, ver figura 2 (b). Al añadir la interacción electrónica (término con  $U$ ) entender la dinámica de los electrones es uno de los problemas de mayor interés in la materia condensada, ya que se piensa que este modelo contiene los ingredientes esenciales para representar el fenómeno de superconductividad de alta temperatura crítica (high-Tc). Al día de hoy no existe una teoría definitiva que explique el mecanismo detrás de el fenómeno superconductividad en estos sistemas, llamados cupratos, y otros superconductores exóticos. El entender los elementos que controlan la high-Tc es de gran interés para el desarrollo de aplicaciones tecnológicas y su optimización[5].

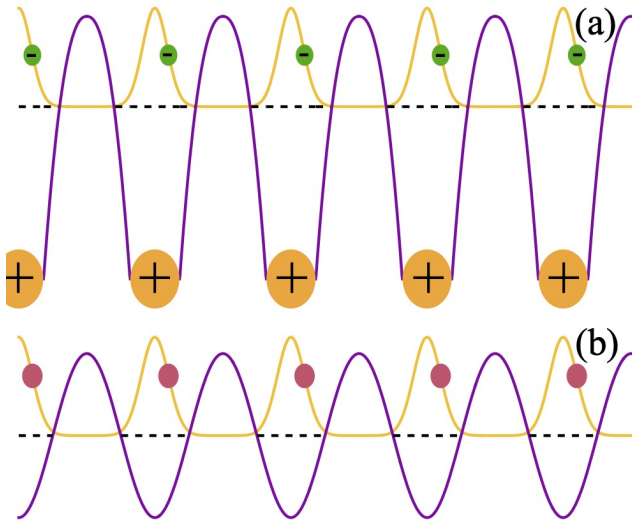


FIG. 1: (a) Esquema del potencial efectivo del modelo de enlace fuerte de electrones. (b) Esquema átomos ultrafríos en el potencial efectivo de una red óptica.

### A. Redes ópticas clásicas

Las redes ópticas en los sistemas atómicos se puede realizar dado el efecto del campo eléctrico en los átomos, el efecto Stark [8]. Los átomos en un campo eléctrico tienen una respuesta con un momento dipolar  $d_\nu^{(\pm)}$  dado por,

$$d_\nu^{(\pm)} = \sum_{\mu \in \{x,y,z\}} \alpha_{\nu\mu}(\omega_L) E_\mu^{(\pm)}(\mathbf{r}, t) \quad (2)$$

donde  $\nu \in \{x, y, z\}$ ,  $\omega_L$  es la frecuencia del laser,  $\alpha_{\nu,\mu}(\omega_L)$  son los elementos de matriz del tensor de polarizabilidad complejo,  $\mathbf{r}$  es la posición y  $t$  el tiempo. De aquí se origina que el corrimiento del efecto Stark de corriente alterna (A.C.) cuadrático sirve para desintonizar con respecto a la frecuencia de resonancia atómica del sistema. El cambio en la energía que percibe el átomo es,

$$\Delta E(\mathbf{r}, t) = -2 \sum_{\nu, \mu \in \{x,y,z\}} \text{Re}[\alpha_{\nu\mu}(\omega_L) E_\nu^{(-)}(\mathbf{r}, t) E_\mu^{(+)}(\mathbf{r}, t)] \quad (3)$$

de aquí se deduce que el potencial efectivo, la red óptica, que ven los átomos es:

$$V_{\text{OL}} \approx \Delta E \propto \frac{I(\mathbf{r})}{\Delta_a} \quad (4)$$

donde  $I(\mathbf{r}) \propto |E(\mathbf{r})|^2$  es la intensidad del laser y  $\Delta_a$  es la desintonía con respecto a la frecuencia de resonancia atómica. Esto de manera efectiva es el cambio en la energía vista por los átomos debido a los láseres asumiendo una respuesta isotrópica del medio (los átomos).

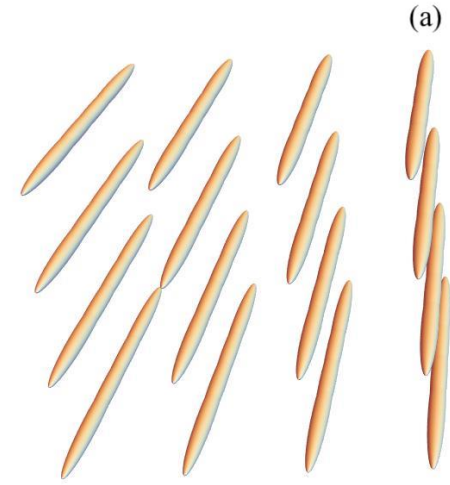


FIG. 2: (a) Red óptica de tubos o "cigarros", los haces contra-propagantes actúan sobre los ejes "x" y "z" en 3D. (b) Red óptica cúbica, los haces contra-propagantes actúan sobre los ejes "x", "y" y "z" en 3D.

Típicamente uno puede arreglar geoméricamente los láseres en configuraciones de pares de haces contra-propagantes en diferentes planos espaciales en una, dos, tres dimensiones e incluso otros planos efectivos adicionales arbitrarios[9–11]. Ejemplos para se muestran en la figura 2 (a) para arreglos de tubos o "cigarros" y (b) una red cúbica. Es posible generar todo tipo de redes periódicas, de Bravais e incluso cuasi-cristalinas con suficientes láseres. Para una red hiper-cúbica de dimensión  $d$  uno tiene para el potencial de la red óptica,

$$V_{\text{OL}} = \sum_{\nu=1}^d V_0 \sin^2(k_\nu x_\nu) \quad (5)$$

donde  $k_\nu$  es el vector de onda de la luz en la dirección  $\hat{e}_\nu$ ,  $x_\nu$  es la coordenada (i. e.  $x, y, z, \dots$ ) tal que para para cada dimensión  $\nu$  tenemos vectores unitarios  $\hat{e}_\nu$ . Debido

a que el potencial efectivo que obtenemos se obtiene a sin tomar en cuenta aspectos cuánticos de la luz en el sistema y los campos de luz están siendo utilizados de manera efectiva paramétricamente, nos referiremos a este tipo de redes ópticas como “redes ópticas clásicas”.

## II. EL MODELO DE BOSE-HUBBARD

El modelo de Hubbard de electrones (fermiones), tiene su contraparte en el sistema atómico en una red óptica clásica donde se pueden realizar experimentalmente sistemas fermiónicos ( ${}^6\text{Li}$ ,  ${}^{40}\text{K}$ ) o sistemas bosónicos ( ${}^{87}\text{Rb}$ ). La primera realización experimental se realizó con átomos de Rubidio con estadística bosónica. En este caso el modelo de Bose-Hubbard[1, 2, 12] describe muy bien los experimentos[13]. El modelo se escribe como:

$$\mathcal{H}^b = -t \sum_{\langle i,j \rangle} (\hat{b}_i^\dagger \hat{b}_j + \text{H.c.}) + \frac{U}{2} \sum_i \hat{n}_i(\hat{n}_i - 1) - \mu \sum_i \hat{n}_i \quad (6)$$

donde  $\hat{b}_i^\dagger$  ( $\hat{b}_i$ ) es el operador de creación (aniquilación) de un átomo en un sitio  $i$  con estadística bosónica. Los operadores de creación y aniquilación obedecen el algebra canónica de conmutación tal que  $[\hat{b}_i, \hat{b}_j^\dagger]_- = \delta_{i,j}$ ,  $[\hat{b}_i^\dagger, \hat{b}_j^\dagger]_- = 0$  y  $[\hat{b}_i, \hat{b}_j]_- = 0$ . El operador del número de átomos en cada sitio esta definido como:  $\hat{n}_i = \hat{b}_i^\dagger \hat{b}_i$ . Los parámetros del modelo son la amplitud de tunelamiento  $t$ , la fuerza de la interacción  $U$  y el potencial químico  $\mu$ .

La modelo tiene dos límites simples de analizar. Para  $t = 0$  (límite atómico) el Hamiltoniano es diagonal. Para llenado commensurado el estado base es el de  $mN$  átomos distribuidos cada uno en  $N$  sitios, donde  $m$  es un entero. El estado base es simplemente:

$$|\psi\rangle_{\text{MI-m}} = |m, m, \dots, m\rangle$$

En este caso, las fluctuaciones en el número de partículas,  $\Delta n^2 = \langle \hat{n}_i^2 \rangle - \langle \hat{n}_i \rangle^2 = 0$ . Los átomos están completamente localizados. Por ejemplo para una densidad por sitio  $\rho = \langle \hat{n}_i \rangle = m = 1$ , tenemos un átomo en cada sitio localizado, a este estado se le llama el estado de “aislante de Mott”  $m$  (Mott-Insulator, MI).

Por otro lado, para  $U = 0$ , el estado base es completamente des-localizado y presenta coherencia, en este caso se le llama estado “Superfluido” (SF). Las fluctuaciones en el número de partículas por sitio son diferentes de cero y en general pueden ser grandes, del orden del numero de partículas por sitio,  $\Delta n^2 \sim \rho$ . El estado se puede escribir como,

$$|\psi\rangle_{\text{SF}} \propto \sum_q \sqrt{\frac{M!}{q_1! q_2! \dots q_N!}} |q_1, q_2, \dots, q_N\rangle$$

donde  $q$  son las posibles combinaciones del conjunto de ocupaciones  $q_n$  en  $N$  sitios para  $M$  átomos. El cambio de entre estos dos estados al modificar los parámetros del modelo o en el sistema experimental es un escenario típico de una “transición de fase cuántica” (QPT) [14].

## A. Aproximación de desacoplamiento, Teoría de perturbaciones y diagrama de fase

En esta sub-sección seguimos el tratamiento esbozado en [1, 15] para determinar el diagrama de fase con la aproximación de desacoplamiento y campo promedio.

Para poder tener una estimación de las fronteras de la transición de fase cuántica entre el estado superfluido y estado del aislante de Mott (Mott-Insulator)[12], es necesario realizar aproximaciones. Una aproximación que da buenos resultados cualitativos para este sistema es la aproximación de desacoplamiento en combinación con la aproximación de campo promedio. La aproximación consiste en desacoplar el producto de los operadores de creación y aniquilación en diferentes sitios, suponiendo que las correlaciones cuánticas entre ellos son despreciables. Adicionalmente se define un parámetro de orden, en este caso del orden superfluido. Este parámetro de orden se construye a partir del valor promedio de los valores de expectación en el estado base de los operadores de creación y aniquilación en el estado base. Esto es,

$$\hat{b}_i^\dagger \hat{b}_j \approx \langle \hat{b}_i^\dagger \rangle \hat{b}_j + \hat{b}_i^\dagger \langle \hat{b}_j \rangle - \langle \hat{b}_i^\dagger \rangle \langle \hat{b}_j \rangle \quad (7)$$

$$= \psi_i^* \hat{b}_j + \hat{b}_i^\dagger \psi_j - \psi_i^* \psi_j \quad (8)$$

donde  $\psi_i^* = \langle \hat{b}_i^\dagger \rangle$  y  $\psi_i = \langle \hat{b}_i \rangle$  para un sitio  $i$ .  $\psi$  es el parámetro de orden superfluido y su significado se aclarará a continuación.

Después de hacer la aproximación de desacoplamiento en el modelo de Bose Hubbard se puede obtener un Hamiltoniano efectivo por sitio suponiendo que el sistema es homogéneo y presenta invariancia translacional.

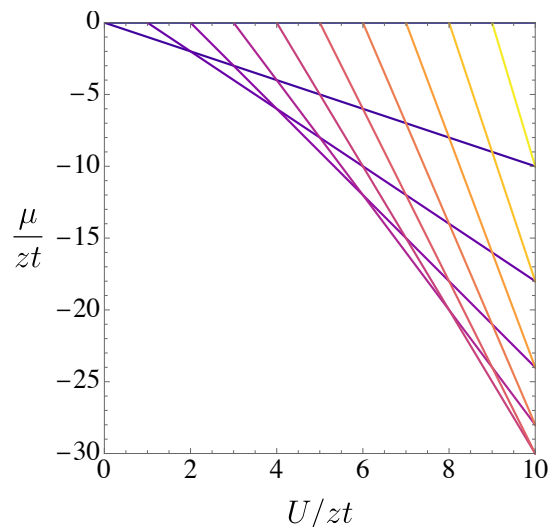


FIG. 3: Espectro de energías de los estados del Hamiltoniano no perturbado. Las curvas de los estados base como función de  $\tilde{\mu}$  se intersectan en los puntos  $\tilde{\mu}/\tilde{U} \in \mathbb{Z} \geq 0$

El Hamiltoniano por sitio efectivo es:

$$\tilde{\mathcal{H}} = -\psi(\hat{b}^\dagger + \hat{b}) + \psi^2 - \tilde{\mu}\hat{n} + \tilde{U}\hat{n}(\hat{n} - 1), \quad (9)$$

donde  $\hat{n} = \hat{b}^\dagger\hat{b}$ ,  $\psi = \langle \hat{b} \rangle$ ,  $\tilde{\mu} = \mu/(zt)$ ,  $\tilde{U} = U/(zt)$ . En lo anterior hemos suprimido el índice por sitio en todas las cantidades y operadores. Además, hemos supuesto sin perder la generalidad para este caso que  $\psi$  es un número real y hemos supuesto que en promedio es el mismo a lo largo del todo el sistema. Es conveniente re-escribir el Hamiltoniano de la siguiente manera,

$$\tilde{\mathcal{H}} = \tilde{U}\tilde{\mathcal{H}}_0 + \psi\hat{V} + \psi^2, \quad (10)$$

donde  $\hat{V} = (\hat{b} + \hat{b}^\dagger)$ . Es conveniente re-escalar con respecto a  $\tilde{U}$ , entonces se obtiene:

$$\tilde{\mathcal{H}}_0 = -\frac{\tilde{\mu}}{\tilde{U}}\hat{n} + \hat{n}(\hat{n} - 1). \quad (11)$$

Adicionalmente, tenemos que  $\hat{n}|n\rangle = n|n\rangle$ . Debido a que  $\psi^2$  es solo una constante, por el momento no es importante, siendo un corrimiento al espectro de energías. Los eigenvalores (valores propios) de  $\tilde{\mathcal{H}}_0$  son:

$$\tilde{\mathcal{H}}_0|g\rangle = E_g|g\rangle \quad (12)$$

$$E_g = 0, \quad \frac{\tilde{\mu}}{\tilde{U}} < 0 \quad (13)$$

$$E_g = -\frac{\tilde{\mu}}{\tilde{U}}g + g(g - 1), \quad (g - 1) < \frac{\tilde{\mu}}{\tilde{U}} < g \quad (14)$$

Con la ayuda de la figura 3 del espectro se puede ver que la relación anterior es válida. Es posible definir una función simple  $\tilde{g} = [\tilde{\mu}/\tilde{U} + 1]$ , que da como resultado la parte entera de  $[\cdot]$ . Entonces, se tiene que

$$E_g = -\tilde{g}\tilde{\mu}/\tilde{U} + \tilde{g}(\tilde{g} - 1). \quad (15)$$

Utilizando teoría de perturbaciones independiente del tiempo no degenerada[16] y el resultado anterior, se obtiene,

$$E_g(\psi) = \tilde{U}E_g + \psi^2 + \psi \underbrace{\langle g|\hat{V}|g\rangle}_0 + \frac{\psi^2}{\tilde{U}} \sum_{n \neq g} \frac{|\langle g|\hat{V}|n\rangle|^2}{E_g - E_n} + O(\psi^3). \quad (16)$$

Se observa que la corrección de primer orden es cero y la corrección de segundo orden puede ser fácilmente calculada con ayuda de las siguientes definiciones,

$$\hat{b}|n\rangle = \sqrt{n}|n-1\rangle \quad (17)$$

$$\hat{b}^\dagger|n\rangle = \sqrt{n+1}|n+1\rangle \quad (18)$$

En consecuencia, se obtiene lo siguiente,

$$\sum_{n \neq g} \frac{|\langle g|\hat{V}|n\rangle|^2}{E_g - E_n} = \left( \frac{\tilde{g} + 1}{E_g - E_{g+1}} + \frac{\tilde{g}}{E_g - E_{g-1}} \right) \quad (19)$$

Utilizando lo anterior se puede escribir lo siguiente,

$$E_g(\psi) = \tilde{U}E_g + \frac{a(\tilde{\mu}, \tilde{U})}{\tilde{U}}\psi^2 + O(\psi^4). \quad (20)$$

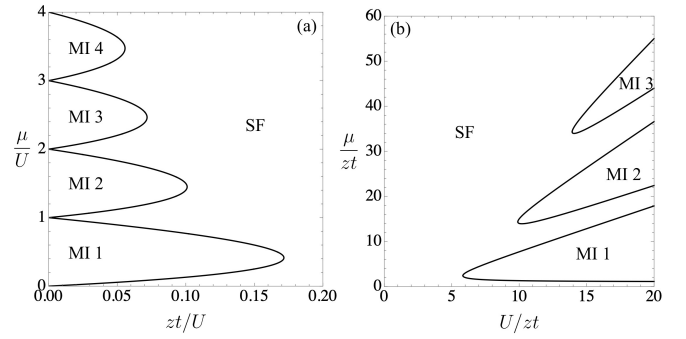


FIG. 4: Diagrama de fase del modelo de Bose-Hubbard en aproximación de campo promedio. (a) Presentación típica en materia condensada. (b) Presentación típica en Física atómica y en experimentos.

Donde la expresión anterior tiene la forma típica de un funcional de Landau. Uno puede identificar  $\psi$  con un parámetro de orden y concluir lo siguiente. Si  $\psi \neq 0$  entonces  $a$  debe ser negativo para minimizar la energía. Si de manera contraria,  $a$  es positivo, entonces  $\psi = 0$ . Por lo tanto, los valores para los cuales esta transición sucede (la línea de transición) es controlada por el parámetro de orden y puede ser encontrada como una función de  $\tilde{\mu}$  y de  $\tilde{U}$ . Se tiene que para  $\psi \neq 0$  el sistema está en el estado superfluido y para  $\psi = 0$  el sistema está en estado de aislante de Mott. Para que suceda la transición se tiene que,

$$a(\tilde{\mu}, \tilde{U}) = \tilde{U} + \frac{\tilde{g} + 1}{\frac{\tilde{\mu}}{\tilde{U}} - \tilde{g}} + \frac{\tilde{g}}{-\frac{\tilde{\mu}}{\tilde{U}} + \tilde{g} - 1} = 0, \quad (21)$$

Se puede re-escribir la relación de arriba de manera conveniente como:

$$y = \frac{-\tilde{g}^2 + 2x\tilde{g} + \tilde{g} - x^2 - x}{1 + x}, \quad (22)$$

con  $y = 1/\tilde{U}$  y  $x = \tilde{\mu}/\tilde{U}$ . Haciendo una gráfica de la función anterior se obtiene el diagrama de fase típico del modelo de Bose-Hubbard, ver la figura 4.

### III. MODELOS EN CAVIDADES DE ALTA REFLECTANCIA

#### A. Esquemas de cavidades

Es posible experimentalmente colocar una cavidad de alta reflectancia en un experimento de átomos ultrafríos en redes ópticas clásicas[17–19]. Algunos típicos arreglos posibles con cavidades de alta reflectancia son los de el esquema de onda estacionaria (a) y onda viajera (b)[20], estos son mostrados en la figura 5. Como se puede apreciar en la figura es posible colocar la cavidad en diferentes ángulos con respecto a eje de la red óptica

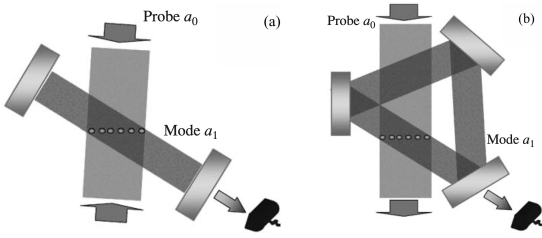


FIG. 5: Esquemas experimentales para sistemas de átomos ultrafríos en cavidades de alta reflectancia (Figuras de [20]). (a) Arreglo de cavidad de ondas estacionarias. (b) Arreglo de cavidad de ondas viajeras.

clásica, es posible colocar diversos detectores de los fotones que escapan la cavidad y se puede hacer incidir luz de bombeo en múltiples direcciones en principio. Adicionalmente, es posible tener más de una cavidad[21, 22] o tener una cavidad multi-modal[23].

### B. Hamiltoniano de luz-materia cuántico

La materia ultrafría dentro de una cavidad de alta reflectancia con una red óptica clásica se puede representar con el siguiente Hamiltoniano de luz-materia en el régimen cuántico[24–26],

$$\mathcal{H} = \mathcal{H}^l + \mathcal{H}^{lm} + \mathcal{H}^m \quad (23)$$

donde  $\mathcal{H}^l$  es el Hamiltoniano de la luz,  $\mathcal{H}^m$  es la parte del Hamiltoniano que solo depende de la materia y  $\mathcal{H}^{lm}$  es la interacción entre la luz y la materia. A diferencia de las redes ópticas clásicas ahora la naturaleza cuántica de la luz es tomada en cuenta y esta afectará de manera significativa los procesos de correlación que habrá en la materia. Explícitamente los términos son:

$$\mathcal{H}^l = \sum_c \hbar\omega_c \hat{a}_c^\dagger \hat{a}_c, \quad (24)$$

$$\mathcal{H}^{lm} = \sum_{c,p,\sigma} \left( g_{pc\sigma}^* \hat{a}_c \hat{F}_{pc\sigma}^\dagger + g_{pc\sigma} \hat{a}_c^\dagger \hat{F}_{pc\sigma} \right) \quad (25)$$

y  $\mathcal{H}^m$  es el Hamiltoniano de Bose-Hubbard, Hubbard o incluso puede ser el de una mezcla Bose-Fermi. Los operadores de la luz son  $\hat{a}_c$  donde  $c$  es el sub-índice que denota los modos en la cavidad. Por otro lado el sub-índice  $p$  denota los modos de la luz bombeada al sistema y  $\sigma$  toma en cuenta la proyección de espín correspondiente. Los operadores de luz obedecen relaciones de conmutación bosónica. Los acoplamientos de la luz y la materia (i.e. proporcionales a las frecuencias de Rabi) están dados por  $g_{pc\sigma}$ . Los operadores  $\hat{F}$  denotan la proyección de los modos de luz con respecto a la materia dentro de la cavidad. Los modos que la luz imprimen a la materia pueden ser descompuestos en modos de densidad  $\hat{D}$  y modos de enlace  $\hat{B}$  de la siguiente

forma,

$$\hat{F}_{pc\sigma} = \hat{D}_{pc\sigma} + \hat{B}_{pc\sigma} \quad (26)$$

$$\hat{D}_{pc\sigma} = \sum_i J_{ii}^{pc\sigma} \hat{m}_{i\sigma}^\dagger \hat{m}_{i\sigma} \quad (27)$$

$$\hat{B}_{pc\sigma} = \sum_{\langle i,j \rangle} J_{ij}^{pc\sigma} (\hat{m}_{i\sigma}^\dagger \hat{m}_{j\sigma} + \text{H.c.}) \quad (28)$$

donde los operadores  $\hat{m}_{i\sigma}^\dagger$  pueden corresponder a fermiones  $\hat{f}^\dagger$  o bosones  $\hat{b}^\dagger$ . Además, las constantes  $J_{ii}$  son los traslapes de modos de densidad (términos en sitio) y las constantes  $J_{ij}$  son los traslapes de modos de enlace (términos a primeros vecinos). Estas constantes de estructura están dadas por las siguientes integrales:

$$J_{ij}^{pc\sigma} = \int w(\mathbf{x} - \mathbf{x}_i) u_{c\sigma}^*(\mathbf{x}) u_{p\sigma}(\mathbf{x}) w(\mathbf{x} - \mathbf{x}_j) d^n x \quad (29)$$

donde  $w(\mathbf{x})$  son las funciones de Wannier de la red óptica clásica en la que están definidos los operadores de materia que conforman  $\mathcal{H}^m$ . Tomando en cuenta que las constantes de estructura típicamente forman un conjunto finito de valores posibles en amplitud con patrones espaciales, es posible definir operadores de modos inducidos por luz tal que,

$$\hat{D}_\sigma = \sum_\varphi J_{\varphi,\sigma}^D \hat{N}_{\varphi,\sigma} \quad (30)$$

$$\hat{B}_\sigma = \sum_\varphi J_{\varphi,\sigma}^B \hat{S}_{\varphi,\sigma} \quad (31)$$

con  $\varphi$  los modos inducidos por luz (el conjunto de diferentes valores de  $J_{ij}$ ) y los siguientes operadores para estos modos:

$$\hat{N}_{\varphi,\sigma} = \sum_{i \in \varphi} \hat{m}_{i,\sigma}^\dagger \hat{m}_{i,\sigma} \quad (32)$$

$$\hat{S}_{\varphi,\sigma} = \sum_{\langle i,j \rangle \in \varphi} (\hat{m}_{i,\sigma}^\dagger \hat{m}_{j,\sigma} + \text{H.c.}) \quad (33)$$

Típicamente las funciones de estructura de los modos inducidos por la luz tienen son de la forma (en 1D)  $u_{p/c}(x) \propto \cos(2\pi qx/\lambda)$  para cavidades de onda estacionaria, donde  $q$  es una constante que depende del arreglo geométrico particular de los haces y espejos en el sistema. Explícitamente para diferentes configuraciones se pueden encontrar en [27]. El problema completo con grados de libertad de luz y materia es muy difícil de resolver. De ahí que una aproximación habitual es la de eliminar adiabáticamente la luz.

### C. Modelos efectivos de materia cuántica en cavidades de alta reflectancia.

En el marco de rotación de la luz es útil definir la desintonía de la frecuencia de la cavidad con la luz de bombeo que se hace incidir en el sistema,  $\Delta_c = \omega_c - \omega_p$ ,

donde  $\omega_{c/p}$  son las frecuencias de la cavidad y el haz de bombeo. Por simplicidad en lo que sigue consideraremos una cavidad mono-modal y un haz de bombeo. Además se considera de manera fenomenológica un  $\kappa$  que es la tasa de pérdida de fotones de la cavidad. A partir de las ecuaciones de movimiento de los operadores de la luz y la materia, se considera el límite del estado estacionario de la luz. Esto es el límite donde

$$\left\langle \frac{d\hat{a}}{dt} \right\rangle \stackrel{!}{=} 0 \quad \rightarrow \text{límite adiabático} \quad (34)$$

a partir de esta condición, en el límite  $\kappa \ll |\Delta_c|$ , que significa que la pérdida de fotones en el sistema es pequeña o equivalentemente que la cavidad es muy buena, se puede aproximar cualitativamente,

$$\hat{a} \sim \frac{g\hat{F}}{\Delta_c + i\kappa} \quad (35)$$

Los detalles de diferentes maneras de realizar la aproximación o un tratamiento equivalente se encuentran en [28, 29]. El tratamiento a detalle de la eliminación adiabática lleva al siguiente Hamiltoniano efectivo sólo con grados de libertad de materia (sin espín),

$$\mathcal{H}_{\text{eff}}^m = \mathcal{H}^m + \frac{\hbar\Delta_c|g|^2}{2N_s(\Delta_c^2 + \kappa^2)}(\hat{F}^\dagger\hat{F} + \hat{F}\hat{F}^\dagger) \quad (36)$$

donde  $N_s$  es el número de sitios en la red óptica clásica que describe el sistema. Se debe notar que el número de átomos en el sistema es del orden del número de sitios. La luz dentro de la cavidad media una interacción en la materia de largo alcance que tiene estructura dictada por como se inyecta la luz al sistema y el arreglo geométrico de la cavidad, así como la red óptica.

**Bosones sin espín.** A partir del modelo efectivo en (36) es posible considerar el límite donde solamente acoplamiento en las densidades sucede. En la configuración donde el potencial de la red óptica clásica es lo suficientemente profundo  $J_{ij} \approx 0$  para primeros vecinos y bombeando la luz a  $90^\circ$  con respecto al eje de la cavidad,  $J_{ii} = J_D(-1)^i$ . Entonces, se puede escribir el siguiente modelo efectivo,

$$\mathcal{H} = \mathcal{H}^b + \frac{g_{\text{eff}}}{N_s} \left[ \sum_{\nu} (\hat{n}_{O,\nu} - \hat{n}_{E,\nu}) \right]^2, \quad (37)$$

donde  $\nu$  corre sobre la mitad de los sitios y  $g_{\text{eff}} \sim \hbar\Delta_c J_D^2 |g|^2 / (\Delta_c^2 + \kappa^2)$ . Este modelo efectivo ha sido realizado experimentalmente [17, 18]. Se encuentra que además de existir las fases de la materia del estado aislante de Mott y estado superfluido, el sistema presenta un estado de aislante de Densidad (DW) con simetría  $Z_2$  rota (Par-Impar) y uno con estado superfluido y de DW coexistiendo, el estado Supersólido (SS). El estado DW puede ser visualizado con el orden que sucede en un tablero de ajedrez donde los átomos se localizan en los sitios pares o en los sitios impares. Cálculos de este

modelo efectivo son consistentes con estos resultados [24–26, 30].

En el caso de que las amplitudes  $J_{ij}$  para  $\langle i, j \rangle$  dominen el comportamiento por condiciones geométricas [27], estados con “orden de enlace” (bond order) son posibles. Esto da lugar a dímeros espaciales donde las fases relativas de las ondas de materia por sitio se auto-organizan [24–26].

**Fermiones con espín.** En este caso el Hamiltoniano de materia  $\mathcal{H}^m$  se puede escribir como,

$$\mathcal{H}^f = - \sum_{\sigma} \sum_{\langle i,j \rangle} t_{ij} \left( \hat{f}_{i\sigma}^\dagger \hat{f}_{j\sigma} + \text{H.c.} \right) + U_f \sum_i \hat{n}_{i\uparrow} \hat{n}_{i,\downarrow} \quad (38)$$

qué es el Hamiltoniano de Fermi-Hubbard, pero ahora en lugar de electrones tenemos átomos  $\hat{f}$  con estadística fermiónica y dos proyecciones de espín efectivas. En este caso, se puede considerar que la luz se acopla dependiendo de la polarización de la luz, derecha o izquierda  $R/L$  tal que:  $a_{p,\theta} \propto (a_{p,L} e^{i\theta} + a_{p,R} e^{-i\theta})$ . Esto genera el siguiente Hamiltoniano efectivo, eliminando adiabáticamente la luz [31],

$$\mathcal{H}_{\text{eff}}^f = \mathcal{H}^f + \frac{g_{\text{eff}}}{2N_s} (\hat{D}_\theta^\dagger \hat{D}_\theta + \hat{D}_\theta \hat{D}_\theta^\dagger) \quad (39)$$

En (39), se ha considerado que la red óptica es lo suficientemente profunda, se bombea luz a  $90^\circ$  y solo términos de densidad son relevantes,

$$\hat{D}_\theta = \sum_j (-1)^j (\hat{n}_{j,\uparrow} e^{i\theta} + \hat{n}_{j,\downarrow} e^{-i\theta}) \quad (40)$$

donde  $\theta$  es el ángulo de polarización. Este Hamiltoniano puede soportar además de estados de pares superfluidos (SF), aislantes anti-ferromagnéticos (AFI) y estados de pares con simetría  $Z_2$  rota formando una DW. El estado con DW además puede tener fracción superfluida de pares no nula, dando lugar a al estado de “onda de densidad de pares” (pair density wave PDW). Es posible hacer ingeniería de estados manipulando el ángulo de polarización, el factor de llenado y explorar diferentes estructuras en la competencia de estados SF, AFI, PDW y DW. Además es posible manipular el diagrama de fases generando estructuras similares a las de sistemas que presentan high-Tc, en la línea crítica de  $T = 0$  [31].

**Bosones con espín.** Recientemente, el Hamiltoniano (37) ha sido extendido y estados con propiedades magnéticas no triviales han sido explorados [32].

#### IV. CONCLUSIONES

La luz en el límite cuántico induce interacciones efectivas que cambian significativamente el panorama de las fases de materia cuántica de muchos cuerpos en el sistema. Es posible diseñar por efectos de retro-acción por cavidades estados de materia cuántica emergente con correlaciones fuertes. Usando las propiedades de la luz

es posible inducir la competencia de ordenes en sistemas de materia cuántica y utilizarlos para hacer simulación cuántica avanzada. Los potenciales cuánticos inducidos

por la luz ofrecen una oportunidad única para innovar buscando nuevos sistemas de control cuántico e ir más allá de análogos de sistemas de materia condensada.

- 
- [1] M. Lewenstein, A. Sampera, and V. Ahufinger. *Ultracold atoms in optical lattices: Simulating Quantum Many-Body Systems*. Oxford University Press (2012).
- [2] Jaksch, D., Bruder, C., Cirac, J. I., Gardiner, C. W. and Zoller, P. Cold Bosonic Atoms in Optical Lattices. *Phys. Rev. Lett.* **81**, 3108 (1998).
- [3] I. Bloch, J. Dalibard, and J. Sylvain. *Nat. Phys.* **8**, 267 (2012).
- [4] F. Schäfer, T. Fukuhara, S. Sugawa, Y. Takasu and Y. Takahashi. Tools for Quantum simulation with ultracold atoms in optical lattices. *Nat. Rev. Phys.* **2**, 411 (2020).
- [5] E. Altman, et. al. Quantum Simulators: Architectures and Opportunities. *Phys. Rev. X Quantum* **2**, 017003 (2021)
- [6] P. Coleman. *Introduction to Many-body Physics*. Cambridge University Press (2015).
- [7] J. Hubbard, Electron correlations in narrow energy bands. *Proc. R. Soc. A* **276**, 238 (1963).
- [8] C. Foot. *Atomic Physics*. Oxford University Press (2005).
- [9] I. Bloch, Ultracold quantum gases in optical lattices. *Nat. Phys.* **1**, 23 (2005).
- [10] O. Boada, A. Celi, J. I. Latorre, and M. Lewenstein, Quantum Simulation of an Extra Dimension. *Phys. Rev. Lett.* **108**, 133001 (2012).
- [11] D. I. Tsomokos, S. Ashhab, and F. Nori. Using superconducting qubit circuits to engineer exotic lattice systems. *Phys. Rev. A* **82**, 052311 (2010).
- [12] M. P. A Fisher., P. B. Weichman, G. Grinstein, and D. S. Fisher, Boson localization and the superfluid-insulator transition. *Phys. Rev. B* **40**, 546 (1989).
- [13] M. Greiner, O. Mandel, T. Esslinger, T. W. Hänsch and I. Bloch, Quantum phase transition from a superfluid to a Mott insulator in a gas of ultracold atoms. *Nature* **415**, 39 (2002).
- [14] S. Sachdev. *Quantum Phase Transitions*, Second Edition. Cambridge University Press (2011).
- [15] D. van Oosten, P. van der Straten, and H.T. C. Stoof, Quantum phases in an optical lattice. *Phys. Rev. A* **63**, 053601 (2001).
- [16] D. J. Griffiths and D. F. Schroeter, *Introduction to Quantum Mechanics*, Third Edition, Cambridge University Press (2017).
- [17] J. Klinder, H. Keßler, M. Reza Bakhtiari, M. Thorwart, and A. Hemmerich, Observation of a Superradiant Mott Insulator in the Dicke-Hubbard Model. *Phys. Rev. Lett.* **115**, 230403 (2015).
- [18] R. Landig, et. al. Quantum phases from competing short- and long-range interactions in an optical lattice. *Nature* **532**, 476 (2016).
- [19] L. Hrubya, N. Dogra, M. Landini, T. Donner, and T. Esslinger, Metastability and avalanche dynamics in strongly correlated gases with long-range interaction, *PNAS* **115** (13) 3279-3284 (2018).
- [20] I. B. Mekhov and H. Ritsch, Quantum Optics with Quantum Gases. *Laser Phys.* **19**, 610 (2009).
- [21] J. Léonard, A. Morales, P. Zupancic, T. Esslinger, and T. Donner. Supersolid formation in a quantum gas breaking a continuous translational symmetry. *Nature* **543**, 87 (2017).
- [22] A. Morales, P. Zupancic, J. Léonard, T. Esslinger, and T. Donner. Coupling two order parameters in a quantum gas. *Nat. Mat.* **17**, 686 (2018).
- [23] A. J. Kollár, A. T. Papageorge, K. Baumann, M. A. Armen, and B. L. Lev, An adjustable-length cavity and Bose-Einstein condensate apparatus for multimode cavity QED. *New J. Phys.* **17**, 043012 (2015).
- [24] S. F. Caballero-Benitez, and I. B. Mekhov, Quantum optical lattices for emergent many-body phases of ultracold atoms. *Phys. Rev. Lett.* **115**, 243604 (2015).
- [25] S. F. Caballero-Benitez, G. Mazzucchi, and I. B. Mekhov, Quantum simulators based on the global collective light-matter interaction. *Phys. Rev. A* **93**, 063632 (2016).
- [26] S. F. Caballero-Benitez, and I. B. Mekhov, Bond order via light-induced synthetic many-body interactions of ultracold atoms in optical lattices. *New J. Phys.* **18**, 113010 (2016).
- [27] W. Kozłowski, S. F. Caballero-Benitez, and I. B. Mekhov, Probing Matter-Field and Atom-Number Correlations in Optical Lattices by Global Nondestructive Addressing. *Phys. Rev. A* **92**, 013613 (2015).
- [28] C. Maschler, I. B. Mekhov, and H. Ritsch, Ultracold atoms in optical lattices generated by quantized light fields. *Eur. Phys. J. D* **46**, 545-560 (2008).
- [29] S. F. Caballero-Benitez, and I. B. Mekhov, Quantum properties of light scattered from structured many-body phases of ultracold atoms in quantum optical lattices. *New J. Phys.* **17** 123023 (2015).
- [30] N. Dogra, F. Brennecke, S. D. Huber and T. Donner, Phase transitions in a Bose-Hubbard model with cavity-mediated global-range interactions, *Phys. Rev. A* **94**, 023632 (2016).
- [31] A. Camacho-Guardian, R. Paredes, and S. F. Caballero-Benitez, Quantum Simulation of Competing Orders with Fermions in Quantum Optical Lattices. *Phys. Rev. A* **96**, 051602(R) (2017)
- [32] K. Lozano-Mendez, A. H. Casares and S. F. Caballero-Benitez. Spin Entanglement and Magnetic Competition via Long-range Interactions in Spinor Quantum Optical Lattices, arXiv:2011.07765 (2020)